

## بررسی میزان پلیمریزاسیون یک رزین باندینگ آزمایشگاهی کیور شده با LED توسط DSC دستگاه

دکتر طاهره السادت جعفرزاده کاشی<sup>†</sup>- دکتر محمد عرفان<sup>\*</sup>- مرضیه میرزا<sup>\*\*</sup>- دکتر سلمه کلباسی<sup>\*\*\*</sup>

\*استادیار گروه آموزشی مواد دندانی دانشکده دندانپزشکی و عضو مرکز تحقیقات دندانپزشکی دانشگاه علوم پزشکی و خدمات بهداشتی، درمانی تهران

\*\*دکترای تخصصی داروسازی دانشگاه علوم پزشکی شهید بهشتی

\*\*\*دانشجوی دندانپزشکی

\*\*\*\*دانشجوی دندانپزشک

**Title:** Evaluation of polymerization of an experimental bonding resin cured with light emitting diodes using Differential Scanning Calorimetry

**Authors:** Jafarzadekashi T. Assistant Professor\*, Erfan M. Assistant Professor\*\*, Mirzaie M., Kalbasi S. Dentist

**Address:** \* Department of Dental Materials, School of Dentistry, Tehran University of Medical Sciences

\*\* Department of Pharmaceutics, Faculty of Pharmacy, Shahid Beheshti University of Medical Sciences

**Background and Aim:** Extent of polymerization (Ep) is the rate at which methacrylate C=C bonds are converted to aliphatic C-C bonds. The higher the Ep value, the better the polymerization of the polymer. If the polymer dose not polymerize sufficiently, it could have destructive effects e.g. releasing monomer, initiator, free radical or insufficient polymerization of hybrid layer. Therefore, measuring the Ep value is very important. Light-emitting diodes (LEDs) are becoming increasingly popular in dental practice as they have a long life expectancy. LEDs do not generate infrared wavelength, and have a constant light output. Therefore, comparison of LED and Quartz tungsten halogen (QTH) from the point of Ep is important. Differential Scanning Calorimetry (DSC) is a proper tool for determining the Ep value, monitoring the process of reaction and reaction kinetics. The aim of this study was to measure the Ep value of a dental bonding containing camphorquinone/amine photoinitiator which were cured by LED and QTH using DSC.

**Materials and Methods:** In this experimental study, 2.5 mg of bonding material were placed in DSC aluminum pans. Two different light cures, LED & QTH (Coltene Company Coltolux ®75 LED Curing Light), were used in this study. The light guide was positioned at a distance of 9mm from the base of the sample chamber. Each sample was photopolymerized for 30 seconds, and the DSC curves were obtained after 100 seconds from initiation of photopolimerization of each sample, at both 23°C and 37°C. The heat of photopolymerization ( $\Delta H$ ) was calculated from the area under the peak of the differential temperature curve. Five samples were used for each condition. The data was analyzed by two-way ANOVA.

**Results:** There was highly significant difference between two temperatures in the experimental bonding (pvalue<0.001). Representative DSC curves showed the same kinetic behavior for LED and QTH.

**Conclusion:** The results revealed that the Ep generated by high power density QTH was the same as that of produced by second generation of LED.

**Key Words:** Bonding; Extent of polymerization; Light emitting diodes (LED); Differential Scanning Calorimetry (DSC)

### چکیده

**زمینه و هدف:** میزان پلیمریزاسیون (Ep) به میزان تبدیل باندهای C=C متاکریلات به باندهای آلفاکریک گفته می‌شود. هرچه مقدار Ep بیشتر باشد پلیمریزاسیون پلیمر بهتر انجام می‌گیرد. اگر پلیمر به اندازه کافی پلیمریزه نشود می‌تواند اثرات مخربی از جمله آزادسازی مونومر، آغازگر و رادیکال‌های آزاد را باعث می‌گردند. پلیمریزاسیون ناکافی لایه هیبرید داشته باشد. بنابراین اندازه‌گیری مقدار Ep اهمیت زیادی دارد. استفاده از دیودهای انتشار نور (LED) در دندانپزشکی

+ مؤلف مسؤول: نشانی: تهران - خیابان انقلاب - خیابان قدس - دانشگاه علوم پزشکی تهران - دانشکده دندانپزشکی - گروه آموزشی مواد دندانی

تلفن: ۰۲۶۹۱۶۴۹ نشانی الکترونیک: jafarzat@sina.tuma.ac.ir

پخاطر طول عمر زیادشان روز به روز در حال افزایش است. دستگاه LED امواج مادون قرمز تولید نمی‌کند و نور خروجی ٹبلت دارد. بنابراین، مقایسه LED و کوارتزتنگستن هالوژن (QTH) از نظر Ep اهمیت دارد. دستگاه Differential Scanning Calorimetry (DSC) یک وسیله مناسب برای تعیین مقدار Ep است. این دستگاه روند واکنش و کینتیک واکنش را ثبت می‌کند. هدف از این مطالعه، اندازه‌گیری مقدار Ep یک باندینگ آزمایشگاهی حاوی آغازگر نوری کامفورکینون-آمین توسط DSC بود که از دستگاه‌های LED و QTH برای کیور آنها استفاده شد.

**روش بررسی:** در این مطالعه تجربی ۲/۵ میلی‌گرم از ماده باندینگ در ظرف‌های کوچک آلومینیومی DSC قرار گرفت و دو دستگاه لایت کیور متفاوت (Coltene® Coltolux® LED Curing Light) بعد از صد ثانیه از آغاز پلیمریزاسیون هر نمونه در دو دمای ۲۳ و ۳۷ درجه سانتی‌گراد بدست آمد. میزان حرارت حاصل از پلیمریزاسیون ( $\Delta H$ ) از ناحیه زیر پیک منحنی اختلاف حرارت محاسبه گردید. در هر یک از شرایط آزمایش پنج نمونه بکار رفت و از آنالیز واریانس دو طرفه برای آنالیز داده‌ها استفاده شد.

**یافته‌ها:** آنالیز واریانس دو طرفه اختلاف معنی‌دار قابل توجهی را در بین دو درجه حرارت در باندینگ آزمایشگاهی نشان داد ( $p < 0.001$ ). منحنی‌های مربوطه در DSC نیز رفتار کینتیک مشابهی را برای LED و QTH نشان دادند. اختلاف آماری معنی‌داری بین دو دستگاه LED و QTH دیده نشد.

**نتیجه‌گیری:** نتایج نشان داد که مقدار Ep در QTH با توان بالا و نسل دوم LED یکسان است.

**کلید واژه‌ها:** باندینگ؛ میزان پلیمریزاسیون؛ دیودهای متغیر کننده نور (LED)؛ DSC (Differential Scanning Calorimetry)؛

تاریخ وصول: ۸۷/۱۰/۲۴ اصلاح نهایی: ۱۰/۰۳/۱۸ تأیید چاپ: ۸۸/۰۳/۱۸

DSC یک وسیله مناسب برای تعیین مقدار Ep، مانیتور روند واکنش و کینتیک واکنش می‌باشد (۴-۸). در این مطالعه برای اندازه‌گیری مقدار Ep از دو نوع دنتین باندینگ در دو دمای متفاوت ۲۳ و ۳۷ درجه سانتی‌گراد استفاده شده است.

**روش بررسی**

باندینگ‌های بدون فیلر بصورت یک محلول تهیه گردید. دستور ساخت آنها بصورت زیر است: در مرحله اول، فاز جامد فرمول، (HEMA) (پودر زردنگ)، در حلال که مونومر رقیق شده است (HEMA-CQ) حل گردید. بعد از اتحال کامل، پودر Bis-GMA (مونومر با ویسکوزیتی بالا) به محلول اضافه شد و با هم زدن یک ترکیب هموژن بدست آمد. در نهایت DMPT که یک مایع روان است به ترکیب نهایی اضافه گردید. جدول ۱ مواد و وسایل بکار رفته در این مطالعه را نشان می‌دهند. در این آزمایش ۲/۵ میلی‌گرم از باندینگ آزمایشگاهی با یک ترازوی دیجیتالی (یا دقت 0.0001gr Shimadzu, LIBROR, AEU-210، 0.0001gr) وزن گردید و در ظرف کوچک آلومینیومی DSC به ابعاد (۴/۵×۲/۰mm) قرار داده شد. سپس در جایگاه قرارگیری نمونه‌ها قرار گرفت. دو دستگاه لایت کیور متفاوت در این مطالعه بکاررفت: Colt Lux® LED و 75 Colt Lux® LED ساخت کولتن سوویس. نور خروجی این دو دستگاه توسط رادیو متر تست گردید.

**مقدمه**

بسیاری از مطالعات نشان داده‌اند که همه مونومرهای دی متاکریلات در محصول نهایی خود مقادیر قابل توجهی از مونومرهای غیر اشباع دارند. این مقادیر از ۲۵ تا ۴۵٪ متغیرند. درجه تبدیل (DC) نیز از ۵۵ تا ۷۵٪ فرق می‌کند. بطور کلی هرچه مقدار پلیمر (Ep) بیشتر باشد، پلیمریزاسیون پلیمر بهتر انجام می‌گیرد. اگر پلیمر به اندازه کافی پلیمریزه نشود، می‌تواند اثرات مخربی از جمله آزادسازی مونومر، آغازگر رادیکال‌های آزاد داشته باشد که برای بدن مضر و توکسیک است. پلیمریزاسیون ناکافی لایه هیبرید نیز می‌تواند بر استحکام پیوند و در نتیجه بر خصوصیات فیزیکی و مکانیکی باندینگ اثرمند باشد. بنابراین اندازه‌گیری مقدار Ep اهمیت زیادی دارد. این مطالعه به منظور اندازه‌گیری میزان پلیمریزاسیون دو نوع دنتین باندینگ انجام گرفته است. همچنین هدف دیگر از این مطالعه تعیین مقدار Ep دنتین باندینگ‌های آزمایشگاهی است (۱-۶).

کاربرد LED (Light emitting diodes) بطور روزافزونی در دندانپزشکی در حال گسترش است، زیرا طول عمر زیادی دارد و نیازی به خنک کننده نیز ندارد، امواج مادون قرمز تولید نمی‌کند و نور خروجی آن ثابت است و با باتری کار می‌کند. بنابراین تعیین مقدار Ep دنتین باندینگ‌های حاوی آغازگرنوری کامفورکینون/آمین که با دستگاه LED کیور شده‌اند در مقایسه با کیورینگ توسط اهمیت زیادی دارد.

جدول ۱ - مواد بکاررفته در آزمون

شرکت سازنده	Lot Number	مواد
ABCR (GER)	MP-9033	Bis-GMA
SIGMA	81723	HEMA
Acros Organics (USA)	A009755501	DL-CQ
Acros Organics (USA)	A009614101	DMPT

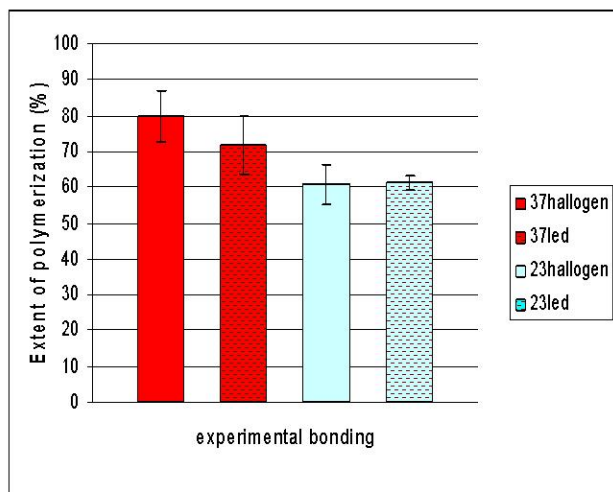
جدول ۲ - میانگین و انحراف معیار و ضریب تغییرات (CV%)

## باندینگ آزمایشگاهی

LED(Coltene)	QTH (Coltene)	ضریب تغییرات (CV%)	میانگین	انحراف معیار
۲۳°C	۳۷°C	۲۳°C	۳۷°C	
۶۱/۳۱	۷۱/۷۱	۶۰/۹۰	۷۹/۶۸	
۲/۱۴	۸/۰۰	۵/۶۸	۷/۱۶	
۳/۴۹	۱۱/۱۵	۹/۳۲	۸/۹۹	

## یافته‌ها

جدول ۲ مقدار Ep باندینگ‌های آزمایشگاهی را که توسط دو نوع لایت کیور LED و QTH و در دو دمای متفاوت پلیمریزه شده‌اند، نشان می‌دهد. در پلیمریزاسیون باندینگ‌های آزمایشگاهی، افزایش دما منجر به افزایش میزان پلیمریزاسیون گردید. متوسط مقدار Ep باندینگ‌های آزمایشگاهی که توسط لایت کیور QTH پلیمریزه شده بودند در دمای ۳۷ درجه سانتی‌گراد بالاتر از LED است. نمودار ۱ هیستوگرام مقادیر پلیمریزاسیون باندینگ‌های آزمایشگاهی را نشان می‌دهد.

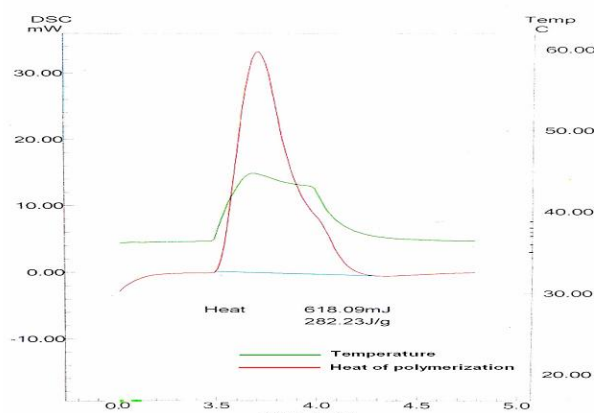


نمودار ۱ - هیستوگرام نشان دهنده میزان پلیمریزاسیون باندینگ‌های آزمایشگاهی است

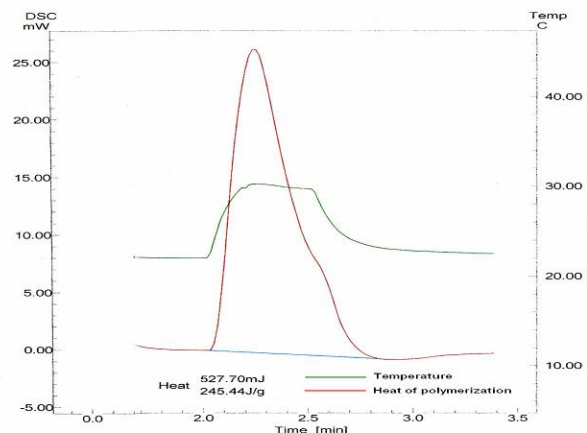
از رادیو متر 910724 برای LED Radiometer by Demetron و از Sdkerr Model 100 curing light Coltolux ® Curing light برای radiometer 10503 برای ۷۵°C استفاده گردید. نور به وسط محفظه نمونه‌ها و مواد شاهد از فاصله ۹ میلی‌متر از بیس محفظه‌ها به مدت ۳۰ ثانیه تابانده شد و منحنی‌های DSC بعد از ۱۰۰ ثانیه از آغاز پلیمریزاسیون هر نمونه در دو دمای ۲۳ و ۳۷ درجه سانتی‌گراد انجام پذیرفت. میزان حرارت حاصل از فوتو پلیمریزاسیون (ΔH) از ناحیه زیر پیک منحنی اختلاف حرارت محاسبه گردید. میزان حرارت مولار حاصل از پلیمریزاسیون HEMA (که فقط یک باند دوگانه دارد) معادل ۵۰ kJ/mol است. این مقدار برای Bis-GMA (که دو باند دوگانه دارد) معادل ۱۰۰ kJ/mol است. با توجه به باندینگ آزمایشگاهی HEMA/Bis-GMA، حرارت پلیمریزاسیون مولار برای ۱۰۰٪ پلیمریزاسیون معادل ۱۱۹/۸۹ می‌باشد. لذا، میزان پلیمریزاسیون از رابطه زیر محاسبه می‌گردد:

$$Ep = 100 \times \Delta H / 89.119$$

همه آزمایش‌ها در آزمایشگاه با دو منبع نوری متفاوت LED و QTH و در دو دمای متفاوت ۲۳ و ۳۷ درجه سانتی‌گراد در شرایط بکسان انجام گرفتند. داده‌های Ep توزیع نرمالی داشتند و آنالیز two-way ANOVA بر روی داده‌ها انجام گرفت.



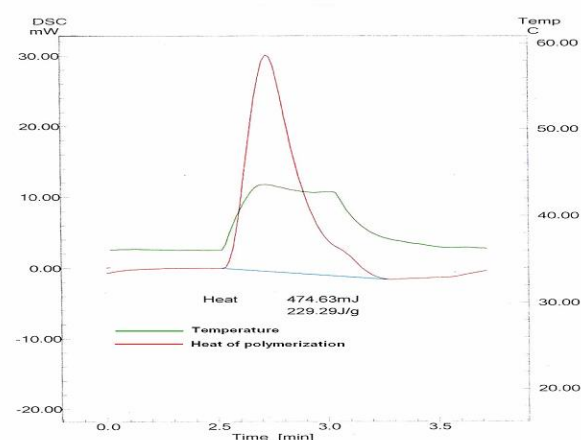
نمودار۴- منحنی باندینگ آزمایشگاهی کیور شده با QTH در ۳۷ درجه سانتی گراد



نمودار۵- منحنی باندینگ آزمایشگاهی کیور شده با QTH در ۲۳ درجه سانتی گراد

آنالیز two-way ANOVA نشان داد که تداخل (interaction) بین نور و دما معنی‌دار نیست ( $pvalue=0.148$ ) ولی دما اختلاف معنی‌داری را نشان داد ( $pvalue=0.001$ ) و نور اختلاف معنی‌داری را نشان نداد ( $pvalue=0.189$ ).

منحنی‌های DSC معادل این نتایج آنالیزی را نیز نشان می‌دهند که منبع نوری QTH با توان بالا باعث افزایش بیشتر در دمای پلیمریزاسیون به میزان تقریباً  $1-2^{\circ}\text{C}$  نسبت به نسل دوم در تمام شرایط کیور می‌شود. در نمودارهای ۲-۵ این منحنی‌ها همچنین رفتار کیнетیک یکسان برای LED و QTH را نشان می‌دهند.

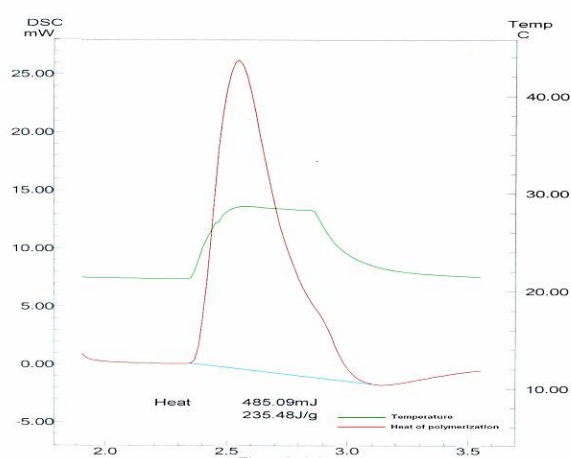


نمودار۶- منحنی باندینگ آزمایشگاهی کیور شده با LED در ۳۷ درجه سانتی گراد

## بحث و نتیجه‌گیری

اجزای ارگانیک کامپوزیت‌های دندانی و نیز مواد باندینگ در ابتدا حاوی چند مونومر متاکریلات می‌باشند که بیش از یک عملکرد دارند. کوپلیمریزاسیون این مونومرهای وینیل چندکاره، در شرایط محدود منجر به تشکیل یک شبکه پلیمری سه بعدی و شبکه‌ای است که دارای مقادیری از مونومرهای غیر اشباع به شکل گروههای وینیل معلق (pendant) و یا مونومرآزاد و یا انواع الیگومراست (10۹).

بنابراین خصوصیات این شبکه پیچیده کوپلیمر نه تنها توسط ساختار و ترکیب مونومر تعیین می‌گردد بلکه درجه تبدیل (DC) یا میزان پلیمریزاسیون گروههای وینیل نیز تعیین کننده است. حضور مونومر واکنش نداده یا الیگومر می‌تواند اثر پلاستی سایزر (مثل کاهاش دمای



نمودار۷- منحنی باندینگ آزمایشگاهی کیور شده با LED در ۲۳ درجه سانتی گراد

اکتیواسیون فتووشیمیایی را بررسی کند. در مطالعه حاضر از روش DSC برای ارزیابی میزان پلیمریزاسیون باندینگ‌های آزمایشگاهی استفاده شده است. تاکنون گزارشی از آنالیز پلیمریزاسیون باندینگ‌های دندانی با استفاده از تکنیک DSC ارائه نشده است، اما آنالیز پلیمریزاسیون رزین‌های دندانی فتوپلیمریزه با استفاده از تکنیک DSC گزارش گردیده است. برخی گزارشات راجع به آنالیزرفتار پلیمریزاسیون مونومرهای رزینی دندانی با استفاده از روش DSC تهیه گردیده‌اند (۴-۱۷).

برخی گزارشات نتیجه گرفته‌اند که DSC یک تکنیک نسبتاً ساده برای کسب اطلاعات کیتیک کیور است و شناسایی یک واکنش را بیشتر امکان‌پذیر می‌کند (۸). مطالعه حاضر همچنین نشان داد که DSC نه تنها یک وسیله مناسب برای آگاهی از روند واکنش و ارزیابی حرارت واکنش است بلکه کیتیک واکنش رانیز نشان می‌دهد. همچنین با DSC تعیین مقدار Ep و دما در حین تابش نور و بعد از تابش امکان‌پذیر است.

کاربرد LED در دندانپزشکی در حال گسترش است (۷). لامپ QTH دارای یک فیلامنت تنگستن است که تا دمای ۲۰۰۰ تا ۳۰۰۰ درجه سانتی‌گراد گرم می‌شود و یک نور سفید تولید می‌کند. این نور سفید یک محدوده وسیع از طول موج‌ها را تشکیل می‌دهد که در بر گیرنده نورمادون قرمز نیز می‌باشد. بنابراین، نور حاصل از QTH باشد فیلتر شود تا طول موج‌های نامطلوب خارج از محدوده ۴۰۰ تا ۵۰۰ nm می‌باشد. تحقیقات نشان داده است که این حرارت در طول زمان باعث تخرب فیلترهای نوری و جباب‌ها (bulb) و در نتیجه کاهش کیفیت واحد کیور QTH می‌گردد (۲۶). خروجی جباب هالوژن قبل از سوختن آن درنتیجه سیاه شدن و مات شدن کیفیت خود را از دست می‌دهد. متوسط طول عمر جباب معمولی ۳۸/۶ ساعت است (۲۷، ۲۸). این جباب‌ها بسیار شکننده‌اند و هزینه جایگزینی آنها نیز نسبتاً زیاد است. دستگاه QTH با لامپ هالوژن نیازمند دستگاه خنک کننده است که باعث افزایش نیروی مصرفی و پیچیدگی آن می‌گردد. Barghi و همکاران در تحقیقات خود نتیجه گرفتند که تقریباً ۴۵٪ از واحدهای حاوی لامپ هالوژن قبلی شدت خروجی کمتری از آنچه که

انتقال شیشه‌ای بر روی پلیمرداشته باشد و باعث تغییر خصوصیات فیزیکی و مکانیکی مواد دندانی محتوی مونومر گردد. علاوه‌upon پیوند کربن-کربن غیراشباع باقیمانده و متعلق می‌تواند ماتریکس پلیمری را بیشتر مستعد به واکنش‌های دئتراتیو کند (۱۱، ۱۲).

DC رزین‌ها یک فاکتور اساسی است که ویژگی‌های فیزیکی آنها را تحت تأثیر قرار می‌دهد. بطور کلی هرچه DC بیشتر باشد، استحکام مکانیکی بیشتر می‌گردد. باند دوگانه واکنش نداده می‌تواند بصورت مونومر آزاد یا به صورت گروههای متعلق در شبکه حضور داشته باشد. مونومر آزاد واکنش نداده می‌تواند از ماده پلیمریزه نشت کرده و بافت نرم را آزاده کند. تترا اتیلن گلیکول دی‌اتاکریلات (TEGDMA) یک مونومر رایج بکار رفته در رزین‌های ادھریو است که در مورد آن گزارش مبنی بر تاثیر بر رشد باکتری‌ها در اطراف رستوریشن وجود دارد (۱۳). علاوه بر آن مونومر آزاد باقیمانده در رستوریشن می‌تواند از طریق فرایند اکسیداسیون و دئتراسیون هیدرولیتیک باعث تغییر رنگ پرکردگی و افزایش سایش شده و در نهایت کارآیی کلینیکی کامپوزیت را کاهش دهد (۱۴، ۱۵). این تغییرات نامطلوب منجر به جدا شدن رستوریشن از سطح دندان و پوسیدگی اطراف ادھریو می‌گردد. علاوه بر آن ادھریو تغییر رنگ یافته در سطح لبیال در لبخند دیده می‌شود. این معایب در کاربرد کلینیکی ادھریوهای دندانپزشکی اهمیت دارد.

بنابراین ارزیابی نسبی مقدار ماده باقیمانده بعد از پلیمریزاسیون سیستم‌های مونومر دندانی از اهمیت بسیاری برخوردار است.

DSC یک روش سریع و آسان برای تعیین درجه تبدیل مونومرها به پلیمر است. توسط Ep مقدار DSC سیستم‌های مختلف مونومر دندانی پلیمریزه تحت شرایط یکسان قابل مقایسه است. بنابراین برای هر مونومر اثر ساختار و ترکیب مونومری رقیق کننده قابل ارزیابی است.

کاربرد دیگر DSC ارزیابی اثر عوامل ممانعت کننده بر روی مونومرها وینیلی است، چراکه تصور می‌رود این مواد نیمه عمر مواد دندانی را افزایش می‌دهند. نشان داده شده است که DSC یک روش سریع و کمی برای ارزیابی اثرات ممانعت کننده‌های مختلف بر پلیمریزاسیون وینیل می‌باشد (۱۶).

یکی دیگر از کاربردهای DSC بررسی کارآمدی سیستم‌های باندینگ می‌باشد. همچنین DSC می‌تواند پلیمریزاسیون حاصل از

می‌تواند باندینگ دندانی به خوبی برخی از QTH‌ها و یا حتی بهتر از آنها پلیمریزه کند. در مطالعه حاضر منحنی‌های DSC حاکی از این نتایج‌ذمی‌باشند. منحنی‌های DSC نشان دادند که منابع QTH با توان بالا باعث افزایش بیشتری در دماهای پلیمریزاسیون به میزان تقریباً  $2-10^{\circ}\text{C}$  نسبت به LED می‌گردند. این مشاهده موافق مطالعه Bouillaguet و همکاران است. آنها مشاهده کردند که منابع QTH با توان بالا باعث افزایش بیشتری در دمای دندان نسبت به LED گردید. این مطالعه همچنین اثر دمای کیور بر میزان پلیمریزاسیون باندینگ‌های دندانی را نشان داد. بدین منظور دو دمای متفاوت ۲۳ و ۳۷ درجه سانتی‌گراد در این مطالعه بکار رفت. چنین تصور می‌شود که دما در سراسر رزین‌ها افزایش می‌یابد و ویسکوزیته مونومر آزاد کیور نشده کاهش یافته و به رادیکال‌های پیش‌برنده واکنش اجازه تحرک بیشتری می‌دهد، در نتیجه منجر به افزایش سرعت پلیمریزاسیون می‌گردد (۳۰).

این نتایج نشان می‌دهند که افزایش دما در باندینگ‌های آزمایشگاهی باعث افزایش میزان پلیمریزاسیون می‌گردد که همان فرضیه ماست و موافق گزارشی از Pogue و همکارانش می‌باشد (۳۱). وی و همکاران اثر برخی از شرایط کیور از جمله دما را بر روی پلیمریزاسیون نوری مونومرهای کریستالین مایع با استفاده از فوتولالیتمتری افترافی بررسی کردند. آنها دمای واکنش را از ۷۰ تا ۱۵۰ درجه سانتی‌گراد تغییر دادند. داده‌های آنها نشان داد که افزایش در دمای واکنش منجر به افزایش سرعت پلیمریزاسیون و DC DSC یک وسیله مناسب برای آنالیز رفتاری پلیمریزاسیون می‌گردد. DSC می‌تواند ارزیابی کینتیک واکنش نیز کارآمد است. مقدار Ep در QTH با توان در ارزیابی کینتیک واکنش کارآمد است. مقدار Ep در QTH با توان بالا با LED (نسل دوم) یکسان بود. با این وجود QTH باعث افزایش بیشتری در دمای پلیمریزاسیون گردید. همچنین افزایش دما مقدار Ep را افزایش داد.

## تشکر و قدردانی

در پایان لازم است از مسئولین محترم مرکز تحقیقات علوم و تکنولوژی در پزشکی وابسته به دانشگاه علوم پزشکی و خدمات

توسط سازنده مشخص شده بود، داشتند (۲۹).

برخلاف لامپ هالوژن با فیلامنت، LED از اتصالات نیمه هادی برای تولید نور استفاده می‌کند (۳۰). انرژی الکتریکی را بسیار کارآمدتر به انرژی نوری تبدیل می‌کند و حرارت کمتری را تولید می‌کند. بسیاری از آنها با باتری کار می‌کنند (۳۱). LED امواج مادون قرمز تولید نمی‌کند و یک خروجی نور ثابت دارد. واحدهای LED نسبت به منابع QTH طول عمر بیشتری دارند که می‌تواند به هزاران ساعت برسد و نیازی به دستگاه خنک کننده و فیلتر ندارد LED هیچ بخش متحرکی ندارد، بنابراین انرژی مصرفی آن کمتر از QTH است و باعث افزایش عمر باتری آن می‌شود. تحقیقات دیگر نشان داده‌اند که قدرت جدیدترین LED‌ها با منابع QTH مقایسه است (۳۲). با این وجود رزین‌های کیور شده با LED در چهار درجه سانتی‌گراد در نتیجه منجر به افزایش سرعت پلیمریزاسیون کیور شده با لامپ هالوژن نشان دادند.

مطالعات قبلی نشان داده اند که دستگاه‌های LED نسبت به واحدهای هالوژن در این موارد برترند؛ عمق کیور، سختی Knoop و درجه تبدیل رزین کامپوزیت‌های لایت کیور تجاری پلیمریزه. با توجه به تحقیقات محققین واحدهای LED پتانسیل بیشتری در کاربرد کلینیکی در آینده نسبت به واحدهای هالوژن معمولی خواهد داشت (۳۳-۳۴).

با توجه به گزارشات قبلی و خصوصیات برتر لایت کیور و نقش قابل توجه آن در کاربرد کلینیکی در آینده، در این مطالعه دو دستگاه لایت کیور LED و QTH با توان بالا بر روی باندینگ آزمایشگاهی از نظر میزان پلیمریزاسیون بررسی شده‌اند.

شیوه و روش آزمایش تقریباً مشابه شیوه Tanimoto و همکارانش بود (۳۵). وی و همکاران رفتار ترکیب رزین UDMA/TEGDMA و کامپوزیت آن را توسط DSC نشان دادند.

تفاوت اصلی مطالعه ما با سایر مطالعات قبلی این است که آزمایشات ما بر روی باندینگ‌های دندانی انجام گرفتند و در بسیاری از نتایجی که از پلیمریزاسیون با LED بدست آمد، متوسط مقدار Ep بالاتر از نمونه‌های کیور شده با QTH بودند. با این وجود میزان پلیمریزاسیون در QTH با توان بالا و LED اختلاف معنی‌داری را نشان نداد. این نتایج نشان می‌دهند که لایت کیور LED با توان بالا

معاونت پژوهشی دانشگاه علوم پزشکی تهران تأمین گردید.

بهداشتی درمانی تهران که کلیه امکانات لازم جهت انجام این تحقیق را فراهم کرده تشرک و قدردانی گردد. منابع مالی این مطالعه توسط

### منابع:

- 1- Craig RG, Powers JM, Sakaguchi RL. *Craige's restorative dental material*. 12<sup>th</sup> ed. S.t Louis: Mosby, 2006; pp. 149-160.
- 2- Kenneth J. Anusavice. *Phillip's Science of Dental Materials*. 11th ed. New York: Saunders (An imprint of Elsevier), 2003; pp. 21-39, 143-170.
- 3- William J, O'Brien. *Dental materials and their selection*. 3<sup>rd</sup> ed. Chicago: Quintessence Publishing Co, 2002; pp. 74-89.
- 4- Antonucci JM, Toth EE. Extent of polymerization of dental resins by differential scanning calorimetry. *J Dent Res* 1983; 62(2): 121-125.
- 5- Taniimoto Y, Hayakawa T, Nemoto K, Analysis of photopolymerization behavior of UDMA/TEGDMA resin mixture and its composite by differential scanning calorimetry. *J Biomed Mater Res B (Appl Biomater)* 2005; 72(2):310-315.
- 6- Eliades G, Watts DC, Eliades T. *Dental Hard Tissues and Bonding*. 1<sup>st</sup> ed. Berlin: Springer, 2005; pp. 136-141.
- 7- Felix CA, Price RBT., Andreov. P. Effect of Reduced exposure times on the microhardness of 10 resin composites cured by high-power LED and QTH curing lights. *J Can Dent Assoc* 2006; 72 (3):147.
- 8- Martin J.L. Kinetic analysis of an asymmetrical DSC peak in the curing of an unsaturated polyester resin catalysed with MEKP and cobalt octoate. *Polymer* 1999; 40:3451-3462.
- 9- Ruyter IE, Gyrosi PP. An infrared Spectroscopic study of sealants. *Scand J Dent Res* 1976; 84:396-400.
- 10- Ruyter IE, Svendsen SA. Remaining methacrylate groups in composite restorative materials. *Acta odontol scand* 1978; 36:75-82.
- 11- Tanaka K, Taira M, Shintani H, Wakasa K, Yamaki M. Residual monomers (TEGDMA and Bis-GMA) of a set visible-light- cured dental composite resin when immersed in water. *Journal of Oral Rehabilitation* 1991; 18: 353-362.
- 12- Hansel C, Leyhausen G, Mai U, Geurtsen W. Effect of various resin composite (co) monomers and extracts on two caries-associated micro-organisms invitro. *Journal of Dental Research* 1998; 77: 60-67.
- 13- Stahl F, Ashworth S H, Jandt K D, Mills R W. Light emitting diode (LED) polymerization of dental composites: Flexural properties and polymerization potential. *Biomaterials* 2000; 21:1379-1385
- 14- Lanbana SS, Aronoff EJ. Epoxy adducts for radiation-curable coatings. *J Paint Tech* 1971;43:77-80.
- 15- Grassie N. Chemistry of high polymer degradation processes. New York, NY: Interscience Publishers, Inc. 1956; pp. 12-14, 160-226, 255-262.
- 16- Lee JK, Choi J-Y, Lim B-Sm Lee Y-K, Sakaguchi RL. Change of Properties during storage of a UDMA/TEGDMA dental resin. *J Biomed Mater Res B (Appl Biomater)* 2004; 68:216-221
- 17- McCabe JF, Wilson HJ. The use of differential scanning calorimetry for the evaluation of dental materials. Part I. Cements, cavity lining materials and anterior restorative materials. *J Oral Rehabil* 1980; 7: 103-110.
- 18- McCabe JF, Wilson HJ. The use of differential scanning calorimetry for the evaluation of dental materials. Part II. Denture base materials. *J Oral Rehabil* 1980; 7: 235-243.
- 19- Ban S, Hasegawa J. Heat of polymerization of dimethacrylate monomers investigated by isothermal DSC measurement. *Dent Mater J* 1984; 3: 85-92.
- 20- Miyazaki K, Horibe T. Polymerization of multifunctional methacrylates and acrylates. *J Biomed Mater Res* 1988; 22:1011-1022.
- 21- Pogue RT, Ullett JS, chartoff RP. Determination of the effects of cure conditions an the photopolymerization of liquid crystalline monomers using differential photo-calorimetry. *Thermoclaclaimica Acta* 1999; 339:21-27.
- 22- Hayakawa T, Takahashi K, Kikutake K, Yokota I, Nemoto K. Analysis of polymerization behavior of dental dimethacrylate monomers by differential scanning calorimetry. *J Oral Sci* 1999; 41:9-13.
- 23- Morgan DR, Kalachandra S, Shobha HK, Gunduz N, Stejskal EO. Analysis of a dimethacrylate copolymer (Bis-GMA and TEGDMA) networks by DSC and C solution and solid-state NMR spectroscopy. *Biomaterials* 2000; 21:1897-1903.
- 24- Jan CM, Nomura Y, Urabe H, Okazaki M, Shintani H. The relationship between leachability of polymerization initiator and degree of conversion of visible light-cured resin. *J Biomed Mater Res (Appl Biomater)* 2001; 58:42-46.
- 25- Yap AU, Soh MS. Thermal emission by different light-curing units. *Oper Dent* 2003; 28:260-266.
- 26- Miyazaki M, Hattori T, Lchiishi Y, Kondo M, Onose H, Moore BK. Evaluation of curing lights used in private dental offices. *Oper Dent* 1998; 23:50-54.
- 27- Leonard DL, Charlton DG, Hilton TJ. Effect of curing-tip diameter on the accuracy of dental radiometers. *Oper Dent* 1999;24:31-37.
- 28- Rueggeberg FA, Twiggs SW, Caughman WF, Khajotia S. Life-time intensity profiles of eleven light-curing units. *J Dent Res* 1996; 75: 380.
- 29- Barghi N, Thomas MA, Hatton C. Evaluating intensity output of curing lights in private dental office. *JADA* 1994; 125:992-996.
- 30- Bouillaguet S, Caillot G, Forchelet J, cattani-Lorente M, Watana JC, Krejci I. Thermal risks from LED-and hight-intensity QTH-curing units during polymerization of dental resins. *J Biomed Mater Res B (Appl Biomater)* 2005; 72(2): 260-267.
- 31- Albers HF. Resin Polymerization. *Adept Report*. 1999;6:1-16.
- 32- Uhl A, Sigusch BW, Jandt KD. Second generation

LEDs for the polymerization of oral biomaterials. Dent Mater 2004; 20:80-87.

**33-** Nomura Y, Teshima W, Tanaka N, Yoshida Y, Nahara Y, Okazaki M. Thermal analysis of dental resins cured with blue light-emitting diodes (IEDs). J Biomed Mater Res 2002; 63(2): 209-213.

**34-** Fujibayashi K, Ishimaru K, Kohno A. Newly developed light-activation units using blue light-emitting diodes. Jpn J Conserv Dent 1996; 39: 180-188.

**35-** Jandt KD, Mills RW, Blackwell GB, Ashworth SH. Depth of cure and compressive strength of dental composites cured with blue light emitting diodes (LEDs). Dent Mater 2000; 16: 41-47.

**36-** Takahashi K, Fujibayashi K, Ishimaru K, Kohno A. Newly developed light-activation units using blue light-emitting diodes. Part two: Effects of spectral distribution of SQW-LED on the polymerization of resin composite. Jpn J conserve Dent 1998; 41: 509-516.

**37-** Tanimoto Y, Hayakawa T, Nemoto K. Analysis of photopolymerization behavior of UDMA/TEGDMA resin mixture and its camposite by differential scanning calorimetry. J Biomed Mater Res B (Appl Biomater) 2005; 72(2):310-315.

**38-** Pogue RT, Ullett JS, chartoff RP. Determination of the effects of cure conditions an the photopolymerization of liquid crystalline monomers using differential photo-calorimetry. Thermoclaclaimica Acta 1999; 339:21-27.